

# I-18

## 応力法による一方向連続無梁板の解法

九州大学

正員

山崎徳也

長崎大学

正員

橋木武

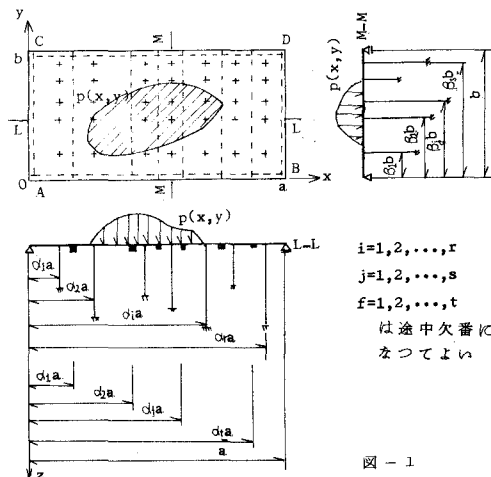
九州大学

学生員

○高橋和雄

1. 緒言 周辺が壁体などで支持され、また中間で弾性ばり、隔壁あるいは柱にて支持されている矩形板すなわち連続無梁板構造は、土木・建築などの各分野において広く利用されているが、かかる構造物を厳密に解くことは経済的かつ合理的設計を確立するうえから極めて重要であることは当然である。<sup>1)</sup>著者は先に板周辺が単純支持され、かつ中間で仕切りに配置された柱で支持される無梁板および一方向連続板の応力法による解法<sup>2)</sup>とそれぞれ独立に発表し、既往の諸研究よりもはるかに広汎な構造形式の板構造を解析可能ならしめたが、さらに拡張応用すれば、連続板と無梁板とが合体した連続無梁板の解法も可能である。すなわち、本研究は矩形板がその周辺で単純支持され、かつ中間で柱および弾性ばりなどにて支持される連続無梁板構造の応力法による解法を提示するものである。

2. 解法 (1) 板の弾性曲面 図-1に示すごとく板ACDBは周辺で単純支持され、かつ中間にて柱および辺ABと辺CD間に結ぶ弾性ばりで支持されているものとする。図示のごとく、直交座標系(I, II, III)を導入し、また各柱に番号11, 12, ..., 18, 21, 22, ..., 2S, ..., i, ..., f, ..., tを付す。一般に柱 $i_j$ の座標値を $(d_i, \beta_j)$ とし、任意垂直荷重 $p(x, y)$ が板に作用するとき、板から柱へ伝えられる垂直反力を $R_{ij}$ 、 $x, y$ 方向の反力モーメントを $M_{ij}^x, M_{ij}^y$ とし、これらを二重正弦フーリエ級数に展開すれば、それを次式のごとくえらぶ。



$$\left. \begin{aligned} R_{ij} &= \frac{4}{ab} \sum_{m=1}^{\infty} \sum_{n=1}^{\infty} R_{ij} \Gamma_{ij}^{(m,n)} \sin m\pi d_i \sin n\pi \beta_j \sin mx \sin ny \\ M_{ij}^x &= \frac{4}{ab} \sum_{m=1}^{\infty} \sum_{n=1}^{\infty} \frac{\pi}{a} M_{ij}^x \Gamma_{ij}^{(m,n)} \cos m\pi d_i \sin n\pi \beta_j \sin mx \sin ny \\ M_{ij}^y &= \frac{4}{ab} \sum_{m=1}^{\infty} \sum_{n=1}^{\infty} M_{ij}^y \Gamma_{ij}^{(m,n)} \sin m\pi d_i \cos n\pi \beta_j \sin mx \sin ny \end{aligned} \right\} \quad \begin{aligned} &\text{ここに} \\ &i=1, 2, \dots, r, \quad j=1, 2, \dots, s \\ &d_m = m\pi/a, \quad \beta_n = n\pi/b \end{aligned}$$

$$\begin{aligned} \Gamma_{ij}^{(m,n)} &= \sin m\pi d_i \sin n\pi \beta_j / (\pi^2 u_i v_j m n), \quad \Gamma_{ij}^x = 3[\sin m\pi d_i / (m\pi u_i) - \cos m\pi d_i] \sin n\pi \beta_j / (\pi^2 u_i^2 v_j m n) \\ \Gamma_{ij}^y &= 3[\sin n\pi \beta_j / (n\pi v_j) - \cos n\pi \beta_j] \sin m\pi d_i / (\pi^2 u_i v_j^2 m n), \quad a, b; \text{板の } x \text{ 方向辺長}, y \text{ 方向辺長} \end{aligned}$$

2U, a, 2V, b; 板 $i_j$ の断面の $x$ 方向中長,  $y$ 方向中長,  $\{ \}$ は級数展開を意味し,  $[F]^2$ を $F$ の次元をもつ。

同様に、任意の弾性ばり $f$ の座標値を $(dia, y)$ とし、板から弾性ばりに伝えられる垂直反力を $V_f$ 、 $x$ 方向の反力モーメントを $M_f$ とすれば、これらは一般に $n$ の関数であるゆえ無限級数を用いて次のごとく仮定する。

$$V_f = \sum_{n=1}^{\infty} V_{fn} \sin ny, \quad M_f = \sum_{n=1}^{\infty} M_{fn} \sin ny \quad (2)$$

式(2)を二重正弦フーリエ級数に展開すれば、次式をうる。

$$\{ V_f \} = \frac{2}{a} \sum_{m=1}^{\infty} \sum_{n=1}^{\infty} V_{fn} \Gamma_{fm}^{(m,n)} \sin m\pi dia \sin n\pi y \sin ny, \quad \{ M_f \} = \frac{-2}{a} \sum_{m=1}^{\infty} \sum_{n=1}^{\infty} \frac{\pi}{a} M_{fn} \Gamma_{fm}^{(m,n)} \cos m\pi dia \sin m\pi dia \sin ny \quad (3)$$

ここに、 $f=1, 2, \dots, t$ ,  $T_{lmn} = \sin m\pi x/(m\pi f)$ ,  $\Gamma_{lmn}^x = 3\{\sin m\pi x/(m\pi f) - \cos m\pi x/(m\pi f)\}/(m\pi f)$ ,  $2\delta+a$ : 弹性係数の全巾  
仕堀直荷重  $P(x, y)$  の他に、各柱および弾性ばりの垂直反力、反力モーメントとも荷重とみなすし、  
これら荷重の総和を求めれば、板に作用する全荷重  $q(x, y)$  が次のとくえられる。

$$q(x, y) = \sum_{m=1}^{\infty} \sum_{n=1}^{\infty} T_{lmn} \sin mx \sin ny \quad (4)$$

$$\text{ここに, } T_{lmn} = F_{mn} - \frac{4}{a} \sum_{j=1}^t \sum_{f=1}^s R_{jf} \Gamma_{lmn}^x \sin mx \cos ny - \frac{x}{a} M_{lf}^x \Gamma_{lmn}^x \cos mx \sin ny - \frac{x}{a} M_{lf}^y \Gamma_{lmn}^y \sin mx \cos ny \\ - \frac{2}{a} \sum_{f=1}^s (V_{fn} \Gamma_{lmn}^x \sin mx \cos ny - \frac{x}{a} M_{fn}^x \cos mx \sin ny), \quad F_{mn} = \frac{4}{a^2} \int_0^a \int_0^b P(x, y) \sin mx \sin ny dy dx$$

本題の矩形板は周辺で単純支持されているが、式(4)の荷重を受けた板のたわみ  $w$  は次のとく簡単な式形で与えられる。

$$w = \sum_{m=1}^{\infty} \sum_{n=1}^{\infty} G_{mn} \sin mx \sin ny \quad (5) \quad \text{ここに, } G_{mn} = T_{lmn} / [D(m^2 + n^2)], \quad D : \text{板剛度} (E f^3 / [12(1 - \nu^2)])$$

$E$ : 板の弾性係数,  $\nu$ : 板率,  $f$ : 板のボアソン比

(2) 基本連立方程式の説明 板と直結する柱間の垂直変位を  $d_{kl}$ ,  $X$  方向のたわみ角を  $\theta_{kl}^x$ ,  $Y$  方向のたわみ角を  $\theta_{kl}^y$  とすれば、これらは板における同じ点のたわみおよびたわみ角と等しくなければならないことより、次のとく一連の変形条件式をうる。

$$w(d_{kl}, \theta_{kl}) = -z_k(y), \quad \partial w(d_{kl}, \theta_{kl}) / \partial x = \theta_{kl}^x, \quad \partial w(d_{kl}, \theta_{kl}) / \partial y = \theta_{kl}^y, \quad k=1, 2, \dots, t; \quad l=1, 2, \dots, s \quad (6)$$

同様に、弾性ばり  $y$  における垂直変位を  $z_l(y)$ ,  $X$  方向のたわみ角を  $\theta_l^x(y)$  とすれば、これらと板の諸条件との間に次の関係が成立する。

$$w(d_{kl}, \theta_{kl}) = -z_l(y), \quad \partial w(d_{kl}, \theta_{kl}) / \partial x = \theta_l^x(y), \quad y=1, 2, \dots, t \quad (7)$$

他方、中間にあいて力  $V_{jl}$  および振りモーメント  $M_{jl}$  が作用し、また両端において曲げモーメント  $M_j^x$ ,  $M_j^y$  が作用するごときはり  $y$  のたわみ曲線  $z_l(y)$  および振り角曲線  $\theta_l^x(y)$  は次式で与えられる。

$$z_l(y) = \frac{1}{EI_j} \sum_{n=1}^{\infty} \left( \frac{4}{n\pi} \right)^2 (V_{jn} + \frac{2\pi E}{f^3} M_j^x + \frac{2\pi E}{f^3} M_j^y) \sin ny, \quad \theta_l^x(y) = -\frac{1}{GJ_j} \sum_{n=1}^{\infty} \left( \frac{4}{n\pi} \right)^2 M_{jn} \sin ny \quad (8)$$

ここに  $\nu$ : はり  $y$  の部材長,  $EI_j$ : はり  $y$  の曲げ剛性,  $GJ_j$ : はり  $y$  の振り剛性、また、はりの両端は曲げに対して単純支持、振りに対して固定とする。

式(5)およびその偏微分形を式(6)(7)に代入し、さらに式(8)の関係を用うれば、本題の連結無梁板に関する基本連立方程式の一部が次のとく算定される。

$$\begin{aligned} & \sum_{l=1}^s \sum_{j=1}^t (R_{lj} D_{lj}^{kl} - \frac{x}{a} M_{lj}^x D_{lj}^{kl} - \frac{x}{a} M_{lj}^y D_{lj}^{kl}) + \frac{4}{2} \sum_{l=1}^s \sum_{j=1}^t (V_{ln} D_{jn}^{kl} - \frac{x}{a} M_{jn} D_{jn}^{kl}) = \frac{a^2}{4} (D^{kl} + D^{lk} d_{kl}) \\ & \sum_{l=1}^s \sum_{j=1}^t (R_{lj} E_{lj}^{kl} - \frac{x}{a} M_{lj}^x E_{lj}^{kl} - \frac{x}{a} M_{lj}^y E_{lj}^{kl}) + \frac{4}{2} \sum_{l=1}^s \sum_{j=1}^t (V_{ln} E_{jn}^{kl} - \frac{x}{a} M_{jn} E_{jn}^{kl}) = \frac{a^2}{4} (E^{kl} - D^{kl} \theta_{kl}^x) \\ & \sum_{l=1}^s \sum_{j=1}^t (R_{lj} F_{lj}^{kl} - \frac{x}{a} M_{lj}^x F_{lj}^{kl} - \frac{x}{a} M_{lj}^y F_{lj}^{kl}) + \frac{4}{2} \sum_{l=1}^s \sum_{j=1}^t (V_{ln} F_{jn}^{kl} - \frac{x}{a} M_{jn} F_{jn}^{kl}) = \frac{a^2}{4} (F^{kl} - D^{kl} \theta_{kl}^y) \\ & \sum_{l=1}^s \sum_{j=1}^t (R_{lj} G_{lj}^{kl} - \frac{x}{a} M_{lj}^x G_{lj}^{kl} - \frac{x}{a} M_{lj}^y G_{lj}^{kl}) + \frac{4}{2} \sum_{l=1}^s \sum_{j=1}^t (V_{ln} G_{jn}^{kl} - \frac{x}{a} M_{jn} G_{jn}^{kl}) + \frac{4}{2} V_{kn} G_{kn}^{kl} \\ & + \frac{4}{2} \frac{x}{a} M_{kj}^x S_{kn}^{kl} + \frac{4}{2} \frac{x}{a} M_{kj}^y S_{kn}^{kl} = \frac{a^2}{4} G_{kn}^{kl} \end{aligned} \quad (9)$$

$$\sum_{l=1}^s \sum_{j=1}^t (R_{lj} H_{lj}^{kl} - \frac{x}{a} M_{lj}^x H_{lj}^{kl} - \frac{x}{a} M_{lj}^y H_{lj}^{kl}) + \frac{4}{2} \sum_{l=1}^s \sum_{j=1}^t (V_{ln} H_{jn}^{kl} - \frac{x}{a} M_{jn} H_{jn}^{kl}) - \frac{4}{2} \frac{x}{a} M_{kn} Q_{kn}^{kl} = \frac{a^2}{4} H_{kn}^{kl}$$

$j \in I$  に  $k=1, 2, \dots, t$ ;  $l=1, 2, \dots, s$ ;  $g=1, 2, \dots, t$ ;  $n=1, 2, \dots, s$

$D_{ij}^{kl} = \sum_{m=1}^{\infty} \sum_{n=1}^{\infty} \frac{T_{lmn}}{mnK_m} \sin mx \cos ny \sin mx \cos ny \sin ny \cos mx$	$E_{ij}^{kl} = \sum_{m=1}^{\infty} \sum_{n=1}^{\infty} \frac{T_{lmn}}{mnK_m} \sin mx \cos ny \sin mx \cos ny \sin ny \cos mx$
$D_{ij}^{kl} = \sum_{m=1}^{\infty} \sum_{n=1}^{\infty} \frac{T_{lmn}}{mnK_m} \cos mx \sin ny \sin mx \cos ny \sin ny \cos mx$	$F_{ij}^{kl} = \sum_{m=1}^{\infty} \sum_{n=1}^{\infty} \frac{T_{lmn}}{mnK_m} \cos mx \sin ny \cos mx \sin ny \sin ny \cos mx$
$D_{ij}^{kl} = \sum_{m=1}^{\infty} \sum_{n=1}^{\infty} \frac{T_{lmn}}{mnK_m} \sin mx \cos ny \sin mx \cos ny \sin ny \cos mx$	$F_{ij}^{kl} = \sum_{m=1}^{\infty} \sum_{n=1}^{\infty} \frac{T_{lmn}}{mnK_m} \sin mx \cos ny \cos mx \sin ny \sin ny \cos mx$
$D_{ij}^{kl} = \sum_{m=1}^{\infty} \sum_{n=1}^{\infty} \frac{T_{lmn}}{mnK_m} \sin mx \cos ny \sin mx \cos ny \sin ny \cos mx$	$E_{ij}^{kl} = \sum_{m=1}^{\infty} \sum_{n=1}^{\infty} \frac{T_{lmn}}{mnK_m} \sin mx \cos ny \cos mx \sin ny \sin ny \cos mx$
$D_{ij}^{kl} = \sum_{m=1}^{\infty} \sum_{n=1}^{\infty} \frac{T_{lmn}}{mnK_m} \cos mx \sin ny \sin mx \cos ny \sin ny \cos mx$	$H_{ij}^{kl} = \sum_{m=1}^{\infty} \sum_{n=1}^{\infty} \frac{T_{lmn}}{mnK_m} \cos mx \sin ny \cos mx \sin ny \sin ny \cos mx$

$$\begin{aligned}
F_{ij}^{\theta} &= \sum_{m=1}^{\infty} \sum_{n=1}^{\infty} \frac{f_{ij}(mn)}{mK_m} \sin m\pi di \sin n\pi \beta_j \sin m\pi d \cos n\pi \beta_i \\
F_{ij}^{\alpha} &= \sum_{m=1}^{\infty} \sum_{n=1}^{\infty} \frac{f_{ij}(mn)}{mK_m} \cos m\pi di \sin n\pi \beta_j \sin m\pi d \cos n\pi \beta_i \\
F_{ij}^{x\theta} &= \sum_{m=1}^{\infty} \sum_{n=1}^{\infty} \frac{f_{ij}(mn)}{mK_m} \sin m\pi di \cos n\pi \beta_j \sin m\pi d \cos n\pi \beta_i \\
F_{ij}^{\alpha\theta} &= \sum_{m=1}^{\infty} \sum_{n=1}^{\infty} \frac{f_{ij}(mn)}{mK_m} \sin m\pi di \sin n\pi \beta_j \cos n\pi \beta_i \\
F_{ij}^{x\alpha} &= \sum_{m=1}^{\infty} \sum_{n=1}^{\infty} \frac{f_{ij}(mn)}{mK_m} \cos m\pi di \sin n\pi \beta_j \cos n\pi \beta_i \\
G_{ij}^{\theta} &= \sum_{m=1}^{\infty} \sum_{n=1}^{\infty} \frac{f_{ij}(mn)}{mK_m} \sin m\pi di \sin n\pi \beta_j \sin m\pi d \sin n\pi \beta_i \\
G_{ij}^{\alpha} &= \sum_{m=1}^{\infty} \sum_{n=1}^{\infty} \frac{f_{ij}(mn)}{mK_m} \cos m\pi di \sin n\pi \beta_j \sin m\pi d \sin n\pi \beta_i \\
G_{ij}^{x\theta} &= \sum_{m=1}^{\infty} \sum_{n=1}^{\infty} \frac{f_{ij}(mn)}{mK_m} \sin m\pi di \cos n\pi \beta_j \sin m\pi d \sin n\pi \beta_i \\
G_{ij}^{\alpha\theta} &= \sum_{m=1}^{\infty} \sum_{n=1}^{\infty} \frac{f_{ij}(mn)}{mK_m} \sin m\pi di \sin n\pi \beta_j \cos n\pi \beta_i \\
G_{ij}^{x\alpha} &= \sum_{m=1}^{\infty} \sum_{n=1}^{\infty} \frac{f_{ij}(mn)}{mK_m} \cos m\pi di \sin n\pi \beta_j \cos n\pi \beta_i
\end{aligned}$$

$$G_n^{\theta} = \tau_g \mu^4 / (2n^3), \quad S_n^{\theta} = \tau_g \mu^2 / n^3, \quad \bar{S}_n^{\theta} = \tau_g \mu^2 (-1)^n / n^3, \quad \tau_g = 0.0 / EI_3, \quad Q_n^{\theta} = \bar{\tau}_g \mu^2 / (2n^3), \quad \bar{\tau}_g = 0.0 / GJ_2, \quad K_{nn} = (n^2 + n^3 / \mu^2)^2, \quad \mu = 8/9$$

また、弾性はりの両端が曲げに対して固定されている場合には、両端のたわみ角が0でなければならぬことから次式をう。

$$\sum_{n=1}^{\infty} V_{qn} J_n + \frac{\pi}{a} M_g^{\theta} K_n + \frac{\pi}{a} M_g^{\alpha} L_n = 0, \quad \sum_{n=1}^{\infty} V_{qn} \bar{J}_n + \frac{\pi}{a} M_g^{\theta} \bar{K}_n + \frac{\pi}{a} M_g^{\alpha} \bar{L}_n = 0. \quad (10)$$

ここで  $J_n = 1/n^3$ ,  $\bar{J}_n = (-1)^n/n^3$ ,  $K_n = \bar{L}_n = \pi^2/3\mu^2$ ,  $L_n = \bar{K}_n = -\pi^2/6\mu^2$

式(9)の各式はそれぞれ柱柱および弾性はりと同数の連立方程式となるので、垂直反力  $R_{Re}$  または垂直変位  $d_{Re}$ 、X方向の反力モーメント  $M_{Re}$  またはたわみ角  $\theta_{Re}$ 、Y方向の反力モーメント  $M_{Re}$  またはたわみ角  $\alpha_{Re}$  のいづれか一方が判明すれば、式(9)(10)を連立に解くことにより図-1に示すごとき一方向連続無梁板の解がえられることとなる。なお、式(9)(10)を連続無梁板に関する基本連立方程式と名付ける。したがふと、基本連立方程式はその式形すら明らかなごとく、不静定量たる展開係数  $V_{qn}, M_{qn}$  の単独項と総数和の項が同時に含まれるので一種の試算による収束計算によって解がえなければならないこととなる。

上記の理論展開では柱柱が曲げ抵抗を有し、また弾性はりが接着抵抗を有する場合の一方向連続無梁板を対象としたが、特例として次の2例を挙げることができる。

i) 柱柱およびはりの反力モーメントを無視する場合  $M_{ij}^{\theta} = M_{ij\alpha} = M_{Re} = 0$  であるが、式(9)は次式の内容となる。

$$\sum_{i=1}^{\infty} \sum_{j=1}^{\infty} R_{ij} D_{ij}^{\theta\theta} + \frac{1}{2} \sum_{i=1}^{\infty} \sum_{n=1}^{\infty} V_{qn} D_{in}^{\theta\theta} = \frac{a^4}{4} (D^{\theta\theta} + D \pi^4 d_{Re}), \quad \sum_{i=1}^{\infty} \sum_{j=1}^{\infty} R_{ij} G_{ij}^{\theta\theta} + \frac{1}{2} \sum_{i=1}^{\infty} \sum_{n=1}^{\infty} V_{qn} G_{in}^{\theta\theta} + \frac{1}{2} \sum_{i=1}^{\infty} \sum_{n=1}^{\infty} M_g^{\theta} S_n^{\theta} + \frac{1}{2} \sum_{i=1}^{\infty} \sum_{n=1}^{\infty} M_g^{\alpha} \bar{S}_n^{\theta} = \frac{a^2}{4} G_n^{\theta}. \quad (11)$$

ii) 中間で点支持および線支承にて支持される場合 柱柱はりの反力モーメントを無視し、曲げ剛性を無限大とし、さらに、柱柱はりの断面寸法ある極限状態を考慮すれば、本題の基本連立方程式が次のごとくえられる。

$$\begin{aligned}
\sum_{i=1}^{\infty} \sum_{j=1}^{\infty} R_{ij} D_{ij}^{\theta\theta} + \frac{1}{2} \sum_{i=1}^{\infty} \sum_{n=1}^{\infty} V_{qn} D_{in}^{\theta\theta} &= \frac{a^4}{4} (D^{\theta\theta} + D \pi^4 d_{Re}) \\
\sum_{i=1}^{\infty} \sum_{j=1}^{\infty} R_{ij} G_{ij}^{\theta\theta} + \frac{1}{2} \sum_{i=1}^{\infty} \sum_{n=1}^{\infty} V_{qn} G_{in}^{\theta\theta} &= \frac{a^2}{4} G_n^{\theta}
\end{aligned} \quad (12)$$

ここで  $D_{in}^{\theta\theta} = \sum_{m=1}^{\infty} \sum_{n=1}^{\infty} \frac{1}{mK_m} \sin m\pi di \sin n\pi \beta_j \sin m\pi d \cos n\pi \beta_i$

$$D_{in}^{\alpha\theta} = \sum_{m=1}^{\infty} \frac{1}{mK_m} \sin m\pi di \sin n\pi \beta_j \sin m\pi d \sin n\pi \beta_i$$

$$G_{ij}^{\theta\theta} = \sum_{m=1}^{\infty} \frac{1}{mK_m} \sin m\pi di \sin n\pi \beta_j \sin m\pi d \sin n\pi \beta_i$$

$$G_{in}^{\theta\theta} = \sum_{m=1}^{\infty} \frac{1}{mK_m} \sin m\pi di \sin n\pi \beta_j \cos n\pi \beta_i$$

3 計算例 図-2に示すごとく、周辺が単純支持され、中間点 22, 24, 42, 44 で柱支持され、さらに中央

$$\begin{aligned}
H_{ij}^{\theta\theta} &= \sum_{m=1}^{\infty} \frac{f_{ij}(mn)}{mK_m} \sin m\pi di \sin n\pi \beta_j \cos m\pi \beta_i \\
H_{ij\alpha}^{\theta\theta} &= \sum_{m=1}^{\infty} \frac{f_{ij}(mn)}{mK_m} \cos m\pi di \sin n\pi \beta_j \cos m\pi \beta_i \\
H_{ij\alpha\theta}^{\theta\theta} &= \sum_{m=1}^{\infty} \frac{f_{ij}(mn)}{mK_m} \sin m\pi di \cos n\pi \beta_j \cos m\pi \beta_i \\
H_{in}^{\theta\theta} &= \sum_{m=1}^{\infty} \frac{f_{in}(mn)}{mK_m} \sin m\pi di \cos m\pi \beta_i \\
H_{in}^{\alpha\theta} &= \sum_{m=1}^{\infty} \frac{f_{in}(mn)}{mK_m} \cos m\pi di \cos m\pi \beta_i \\
D^{\theta\theta} &= \sum_{m=1}^{\infty} \frac{f_m}{K_m} \sin m\pi d \sin m\pi \beta_i \\
E^{\theta\theta} &= \sum_{m=1}^{\infty} \frac{f_m}{K_m} \cos m\pi d \sin m\pi \beta_i \\
F^{\theta\theta} &= \sum_{m=1}^{\infty} \frac{f_m}{K_m} \sin m\pi d \cos m\pi \beta_i \\
G^{\theta\theta} &= \sum_{m=1}^{\infty} \frac{f_m}{K_m} \sin m\pi d \sin m\pi \beta_i \\
H^{\theta\theta} &= \sum_{m=1}^{\infty} \frac{f_m}{K_m} \cos m\pi d \sin m\pi \beta_i
\end{aligned}$$

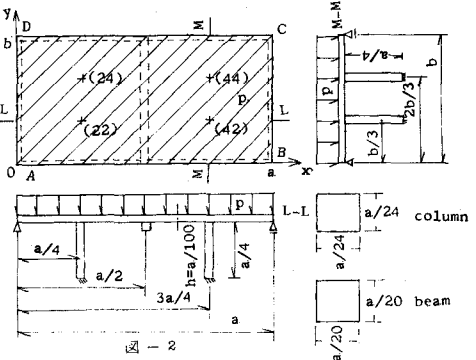


図-2

で弾性ばりにて支持される矩形板すなわち 2 スパン一方向連続無梁板が等分布荷重を満載する場合の算例を示せば次のとおりである。図-2において板の辺長比  $\mu = \frac{1}{2}$  とし、また各柱の沈下がないものとする。板から柱に伝わられるモーメント  $M_{ae}^x, M_{ae}^y$  ( $a, l = 2 \text{ or } 4$ ) と柱頭部のたわみ角  $\theta_{ae}^x, \theta_{ae}^y$ との関係は符号を考慮のうえ既往のたわみ角式を用いて次のごとく表わされる。

$$M_{ae}^x = -4E_{ae}^x I_{ae}^x \theta_{ae}^x / h_{ae}, \quad M_{ae}^y = -4E_{ae}^y I_{ae}^y \theta_{ae}^y / h_{ae} \quad (13)$$

ただし、 $h_{ae}$ ：柱間の全長、 $I_{ae}^x, I_{ae}^y$ ：柱間の X, Y 軸まわりの断面 2 次モーメント、 $E_{ae}^x, E_{ae}^y$ ：柱間の X, Y 方向の弾性係数

各柱の断面を  $a/24X^4/24$  なる正方形断面とすれば

断面 2 次モーメントは  $I_{ae}^x = I_{ae}^y = \frac{1}{2}a^4(1/24)$  であり、また各柱の長さが  $h_{ae} = 0.4$  で与えられるものとする。弾性ばりは両端で曲げに対して単純支持、横内に對して固定されているものとし、その断面は  $\frac{a}{20} \times \frac{a}{20}$  なる正方形とする。さらに柱および弾性ばりの弾性係数は板のそれと同じであり、また、 $\nu = 0.100, V = 0.3$  とする。これら諸数値を用いて形状定数および荷重項を算出のうえ、式 (9), (13) の基本連立方程式を試験算法により解けば各柱の反力および反力モーメントがそれを次値のごとくえられる。

$$R_{21} = R_{22} = R_{31} = R_{41} = 0.432 \text{ Pa}^3/8$$

$$M_{22}^x = M_{32}^x = -M_{21}^x = -M_{41}^x = -0.00166 \text{ Pa}^3/8 \quad (14)$$

$$M_{22}^y = -M_{42}^y = M_{32}^y = -M_{21}^y = 0.00070 \text{ Pa}^3/8$$

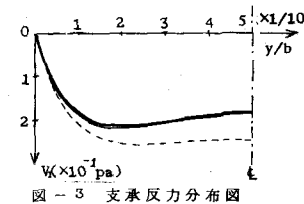


図-3 支承反力分布図

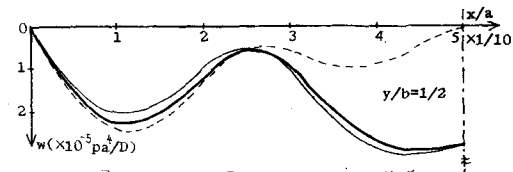


図-4 w-図

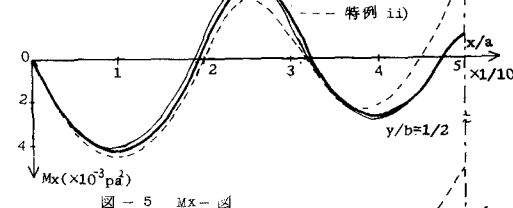


図-5 Mx-図

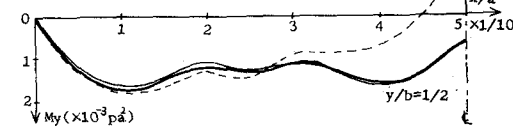


図-6 My-図

また、弾性ばりの反力、反力モーメントの展開係数を同時にえられ、これらは式(2)に代入すれば、 $V_i, M_i$  が算定される。本例は対称構造および対称荷重であるため  $M_i$  は 0 となり、また  $V_i$  は図-3 に示すごとくである。 $w$  に関する式(5)および  $w$  と  $M_x, M_y$  との関係式が  $x/a = 1/2$  なる断面のたわみおよび X, Y 方向の曲げモーメントを算出すれば、図-4, 5, 6 に示すごとくえられる。なお、比較対照のために、特例 i), ii) の解を図-3, 4, 5, 6 に併記した。

4. 結語 2.(2) で述べたごとく本法の基本連立方程式は一種の試算による収束計算となるが、3. の算例では柱の不静定量は極めて早く収束し、 $n=9$  までで十分な精度がえられたが、弾性ばりの不静定量はやや収束が悪く、 $n=67$  までの演算を要した。連続無梁板の解法は本法の他に、たわみ角一端モーメント関係式による解法が考えられるが、これについては今後の報文にまつこととなる。

- 参考文献 1) 山崎・橋木：周辺で単純支持される無梁板の解法 土木学会論文集 第136号 昭和41年12月, 2) 山崎・橋木・高橋：応力法による一方向連続矩形板の解法 九大工学集報 第41巻 第3号 昭和43年7月, 3) 無梁板に関して例えは、Sewe: Platten und andere tragerlose Eisenbetonplatten. 2. Aufl., Berlin, 1926. など、連続板に関して例えは、山崎・橋木・横田：たわみ角一端モーメント関係式による等方性矩形板の解法 九大工学集報 第40巻 第1号 昭和42年3月など。